

SSLS108 - Coque hélicoïdale sous charges concentrées

Résumé :

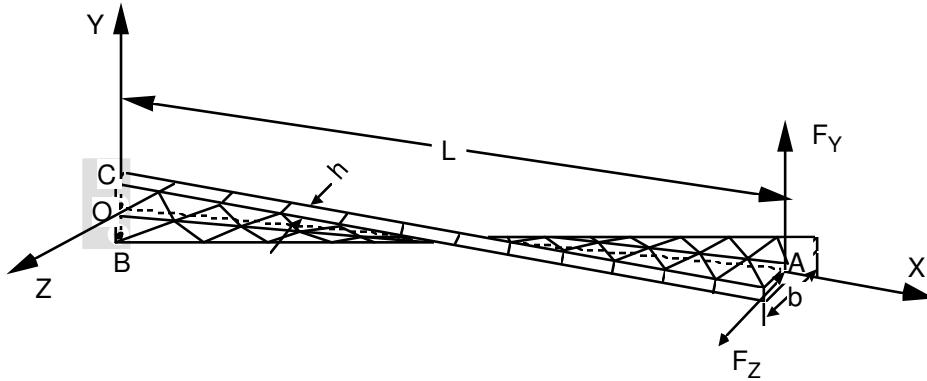
Ce test en élasticité linéaire est très sévère de par sa géométrie (coque gauche). Il permet de montrer l'influence du gauchissement sur les performances des éléments de coques.

Il comporte 8 modélisations permettant de tester les éléments COQUE_3D, DKT, DST et Q4G pour différents supports géométriques.

Les valeurs de référence sont des résultats de calcul fournis dans la littérature, on vérifie le déplacement en un point de la structure.

1 Problème de référence

1.1 Géométrie



La coque est d'épaisseur 0.32 m , de longueur 12 m et de largeur 1.1 m .

1.2 Propriétés de matériaux

$$E = 29.10^6\text{ Pa}$$

$$\nu = 0.22$$

1.3 Conditions aux limites et chargements

Encastree sur le côté OBC : $u=v=w=0$, $\theta_x=\theta_y=\theta_z=0$

Deux cas de charge qui correspondent à des charges concentrées au point A :

- Force parallèle à l'axe Z : $F_z = 1\text{ N}$
- Force parallèle à l'axe Y : $F_y = 1\text{ N}$

2 Solution de référence

2.1 Méthode de calcul utilisée pour la solution de référence

La solution de référence [1] est une solution fondée sur la théorie des poutres (non-déformation de la section transversale), incluant ou non les effets du cisaillement transverse.

2.2 Résultats de référence

Déplacement du point A suivant Y .

Déplacement du point A suivant Z .

Chargement (N)	Référence (m)
$F_Y=0$	$DY = 1.72 \times 10^{-3}$
$F_Z=1$	$DZ = 5.424 \times 10^{-3}$
$F_Y=1$	$DY = 1.754 \times 10^{-3}$
$F_Z=0$	$DZ = 1.72 \times 10^{-3}$

2.3 Incertitudes sur la solution

Solution semi-analytique.

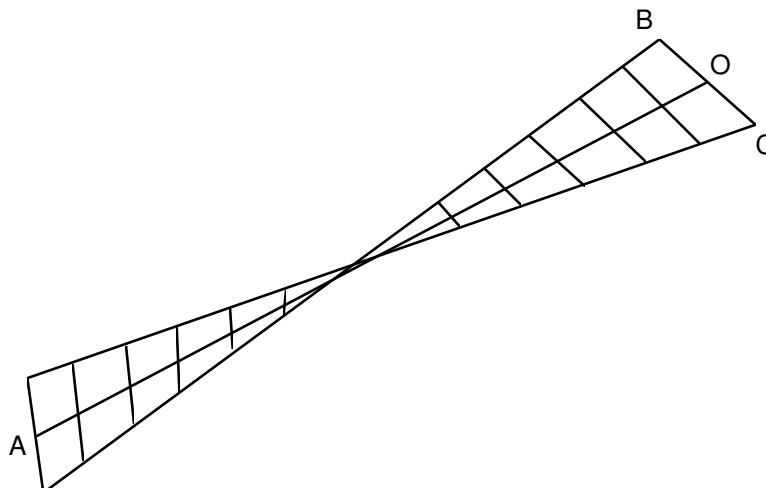
2.4 Références bibliographiques

- [1] J. L. Batoz and G. Dhatt, « Modélisation des structures par éléments finis Volume.3: Coques », éditions HERMES. Paris , France, 1992.
- [2] HAMMADI Fodil : 'Formulation et évaluation d'éléments finis a continuité C^0 de la géométrie pour l'analyse linéaire et non-linéaire des coques" Thèse de docteur, UTC, juin 1998

3 Modélisation A

3.1 Caractéristiques de la modélisation

Modélisation COQUE_3D



Découpage :

2 selon la largeur, 12 selon la longueur
24 mailles QUAD9, épaisseur : $h = 0.32$

Noms des nœuds :

Point *O* *N06*
Point *B* *N01*
Point *C* *N02*
Point *A* *N032*

3.2 Caractéristiques du maillage

Nombre de nœuds : 125
Nombre de mailles et types : 24 QUAD9

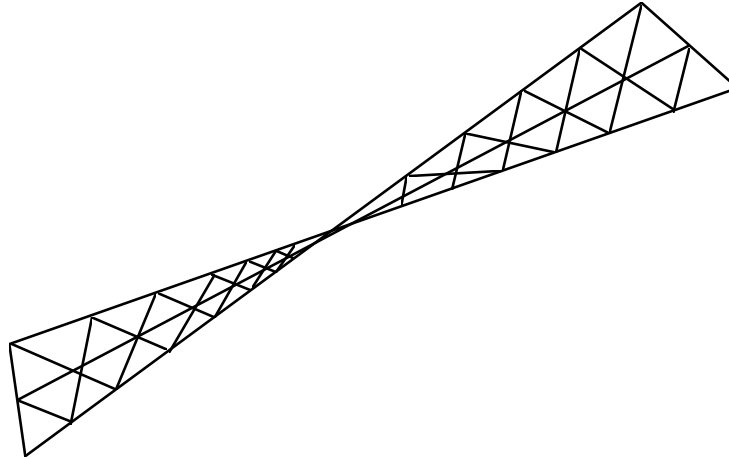
3.3 Valeurs testées

Cas de charges	Point	Grandeur en unité	Référence
$F_z = 1 \text{ N}$	<i>A</i>	déplacement V (<i>m</i>)	$-1.72 \cdot 10^{-3}$
		déplacement W (<i>m</i>)	$5.42 \cdot 10^{-3}$
$F_y = 1 \text{ N}$	<i>A</i>	déplacement V (<i>m</i>)	$1.75 \cdot 10^{-3}$
		déplacement W (<i>m</i>)	$-1.72 \cdot 10^{-3}$

4 Modélisation B

4.1 Caractéristiques de la modélisation

Modélisation COQUE_3D



Découpage :

2 selon la largeur, 12 selon la longueur
48 mailles TRIA7, épaisseur : $h=0.32$

Noms des nœuds :

Point *O* *N06*
Point *B* *N01*
Point *C* *N02*
Point *A* *N032*

4.2 Caractéristiques du maillage

Nombre de nœuds : 173
Nombre de mailles et types : 48 TRIA7

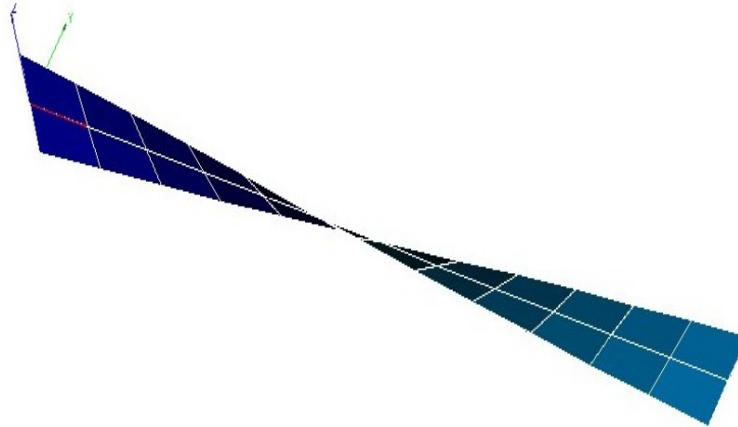
4.3 Valeurs testées

Cas de charges	Point	Grandeur en unité	Référence
$F_z=1\text{ N}$	<i>A</i>	déplacement V (<i>m</i>)	$-1.72 \cdot 10^{-3}$
		déplacement W (<i>m</i>)	$5.42 \cdot 10^{-3}$
$F_y=1\text{ N}$	<i>A</i>	déplacement V (<i>m</i>)	$1.75 \cdot 10^{-3}$
		déplacement W (<i>m</i>)	$-1.72 \cdot 10^{-3}$

5 Modélisation I

5.1 Caractéristiques de la modélisation

On utilise une modélisation DKT (QUAD4). On teste dans cette modélisation COEF_RIGI_DRZ négatif. Dans ce cas, le ddl DRZ a un sens physique de « drilling rotation » ou rotation autour de la normale.



5.2 Caractéristiques du maillage

Le maillage contient 39 nœuds et 24 mailles QUAD4.

5.3 Grandeurs testées et résultats

Chargement (N)	Identification		Type de référence	Valeur de référence (m)	Tolérance (%)
	Point	Grandeur			
$F_y=1$ $F_z=0$	A	DY	'SOURCE_EXTERNE'	$DY = 1.754 \times 10^{-3}$	48.0
$F_y=0$ $F_z=1$		DZ	'SOURCE_EXTERNE'	$DZ = 5.424 \times 10^{-3}$	62.5

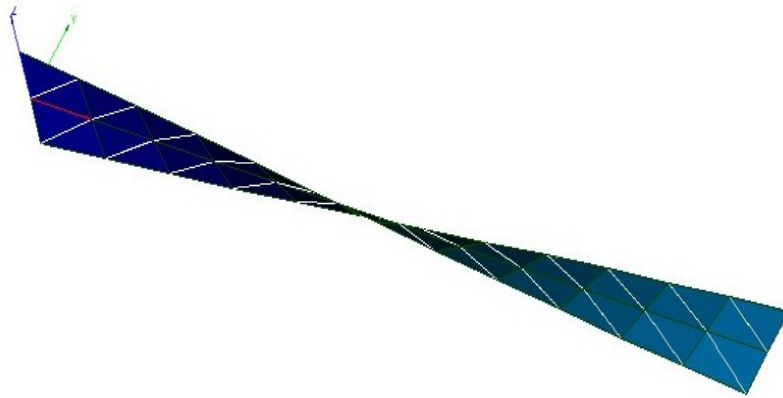
5.4 Remarques

Sous l'effet des grands déplacements subis par la structure, les mailles QUAD4 deviennent de plus en plus gauches au cours du calcul. Les hypothèses de la modélisation DKT ne sont alors plus respectées.

6 Modélisation J

6.1 Caractéristiques de la modélisation

On utilise une modélisation DKT (TRIA3).



6.2 Caractéristiques du maillage

Le maillage contient 39 nœuds et 48 mailles TRIA3.

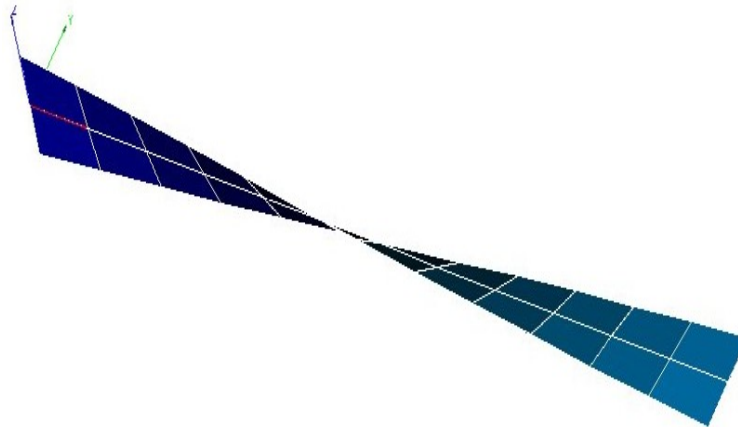
6.3 Grandeurs testées et résultats

Chargement (N)	Identification		Type de référence	Valeur de référence (m)	Tolérance (%)
	Point	Grandeur			
$F_Y=1$ $F_Z=0$	A	DY	'SOURCE_EXTERNE'	$DY = 1.754 \times 10^{-3}$	17.0
$F_Y=0$ $F_Z=1$		DZ	'SOURCE_EXTERNE'	$DZ = 5.424 \times 10^{-3}$	2.5

7 Modélisation K

7.1 Caractéristiques de la modélisation

On utilise une modélisation DST (QUAD4).



7.2 Caractéristiques du maillage

Le maillage contient 39 nœuds et 24 mailles QUAD4.

7.3 Grandeurs testées et résultats

Chargement (N)	Identification		Type de référence	Valeur de référence (m)	Tolérance (%)
	Point	Grandeur			
$F_Y=1$ $F_Z=0$	A	DY	'SOURCE_EXTERNE'	$DY = 1.754 \times 10^{-3}$	48.0
$F_Y=0$ $F_Z=1$		DZ	'SOURCE_EXTERNE'	$DZ = 5.424 \times 10^{-3}$	62.5

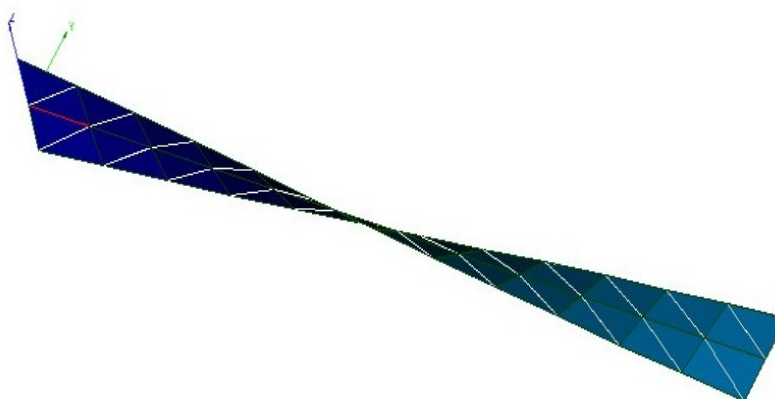
7.4 Remarques

Sous l'effet des grands déplacements subis par la structure, les mailles QUAD4 deviennent de plus en plus gauches au cours du calcul. Les hypothèses de la modélisation DKT ne sont alors plus respectées.

8 Modélisation L

8.1 Caractéristiques de la modélisation

On utilise une modélisation DST (TRIA3).



8.2 Caractéristiques du maillage

Le maillage contient 39 nœuds et 48 mailles TRIA3.

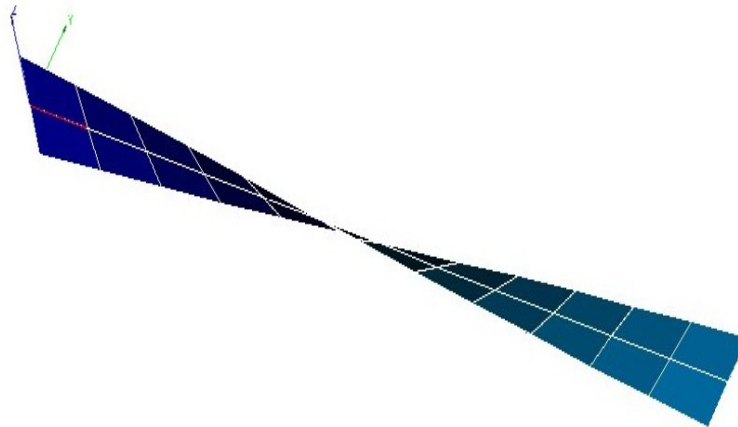
8.3 Grandeurs testées et résultats

Chargement (N)	Identification		Type de référence	Valeur de référence (m)	Tolérance (%)
	Point	Grandeur			
$F_Y=1$ $F_Z=0$	A	DY	'SOURCE_EXTERNE'	$DY = 1.754 \times 10^{-3}$	15.0
$F_Y=0$ $F_Z=1$		DZ	'SOURCE_EXTERNE'	$DZ = 5.424 \times 10^{-3}$	1.5

9 Modélisation M

9.1 Caractéristiques de la modélisation

On utilise une modélisation Q4G (QUAD4).



9.2 Caractéristiques du maillage

Le maillage contient 39 nœuds et 24 mailles QUAD4.

9.3 Grandeurs testées et résultats

Chargement (N)	Identification		Type de référence	Valeur de référence (m)	Tolérance (%)
	Point	Grandeur			
$F_Y=1$ $F_Z=0$	A	DY	'SOURCE_EXTERNE'	$DY = 1.754 \times 10^{-3}$	48.0
$F_Y=0$ $F_Z=1$		DZ	'SOURCE_EXTERNE'	$DZ = 5.424 \times 10^{-3}$	62.5

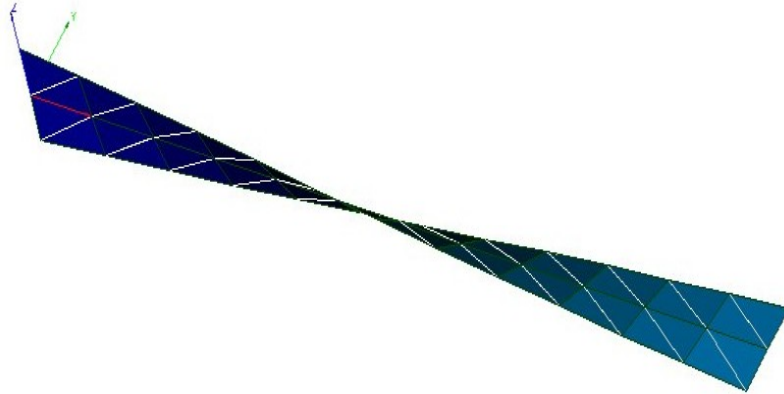
9.4 Remarques

Sous l'effet des grands déplacements subis par la structure, les mailles QUAD4 deviennent de plus en plus gauches au cours du calcul. Les hypothèses de la modélisation DKT ne sont alors plus respectées.

10 Modélisation N

10.1 Caractéristiques de la modélisation

On utilise une modélisation Q4G (TRIA3).



10.2 Caractéristiques du maillage

Le maillage contient 39 nœuds et 48 mailles TRIA3.

10.3 Grandeurs testées et résultats

Chargement (N)	Identification		Type de référence	Valeur de référence (m)	Tolérance (%)
	Point	Grandeur			
$F_Y=1$ $F_Z=0$	A	DY	'SOURCE_EXTERNE'	$DY = 1.754 \times 10^{-3}$	11.0
$F_Y=0$ $F_Z=1$		DZ	'SOURCE_EXTERNE'	$DZ = 5.424 \times 10^{-3}$	6.0

11 Synthèse des résultats

Ce test est très sévère de par la géométrie de la coque qui est gauche.

Les éléments `COQUE_3D` donnent de très bons résultats (inférieurs à 0.5%) avec peu de nœuds (modélisation A et B).

S'agissant des modélisations de type plaque (`DKT`, `DST`, `Q4G`), on observe que le type de maille utilisé a une forte influence sur les résultats :

- les mailles `TRIA3` donnent de bons résultats (environ 10 % d'erreur), un maillage plus fin améliore de plus sensiblement ces derniers ;
- les mailles `QUAD4` donnent en revanche des résultats très éloignés de la solution de référence. La formulation des éléments de plaque fait en effet l'hypothèse de facettes planes, celle-ci n'est plus vérifiée sur ce test en présence de grands déplacements.